

7

*Prav*

*Arch.*

# ZPRÁVY

ÚSTAVU THEORETICKÉ A APLIKOVANÉ MECHANIKY

— ÚTAM — ČSAV —

ČESKOSLOVENSKÁ AKADEMIE VĚD

Ing. Dr BOHUMÍR VÍTEK,

Ing. Dr IVO HRUBAN:

PŘÍSPĚVEK K OTÁZCE MINIMÁLNÍ  
VÝZTUŽE ŽELEZOBETONOVÝCH  
PRŮŘEZŮ

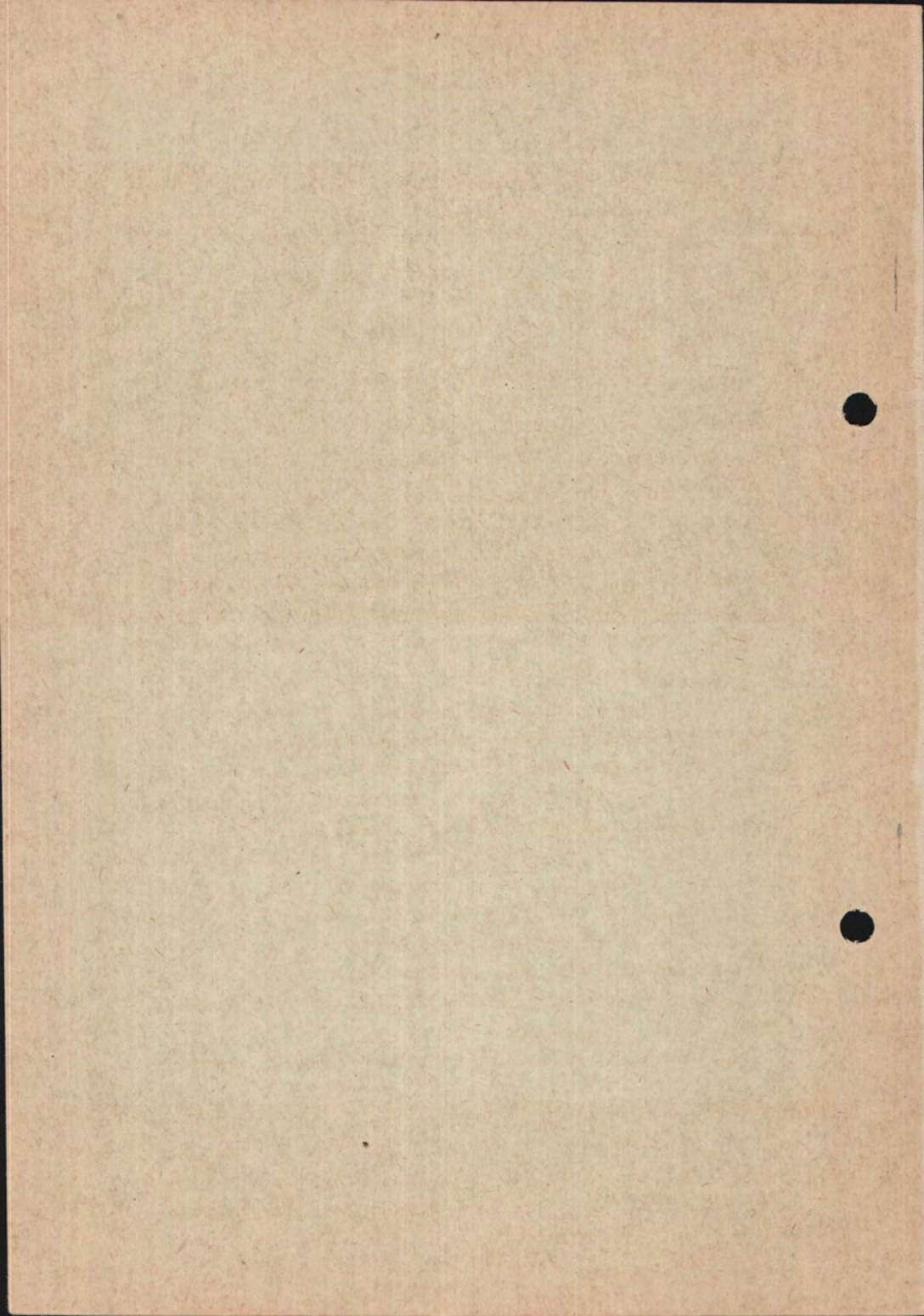
1

Ing. RICHARD BAREŠ:

NÁVRH A ROZDĚLENÍ SMYKOVÉ  
VÝZTUŽE Z VODOROVNÉ  
SMYKOVÉ SÍLY

23

PRAHA  
1 9 5 7



Степень устойчивости против излома равна 3.04. Это — величина отношения момента при разрушении железобетонного сечения /как уже было сказано, этот момент в 1.6 раз превышает предельный момент, полученный на основании обычного расчета/ к моменту при рабочей нагрузке.

Итак, при перегрузке балки сначала образовались бы трещинки, а затем при нагрузке, примерно в  $3.04 : 2.3 = 1.32$  раза большей, произошел бы излом балки.

Следовательно, существует полное основание для того, чтобы такие минимально армированные сечения рассматривались согласно правил для железобетонных сечений.

Дополнительно мы получили в 1955 году сообщение из Советского Союза о том, что также и там занимались этим вопросом и что были получены те же результаты, на основании которых производится снижение установленного минимума для арматуры, а именно в различной степени для отдельных видов бетона.

NÁVRH A ROZDĚLENÍ SMYKOVÉ VÝZTUŽE  
Z VODOROVNÉ SMYKOVÉ SÍLY

Ing. Richard Bareš  
Předloženo: 22. 12. 1955

1. Úvod

Návrhem a rozdělením smykové výztuže na základě jednoduchého výpočtu vodorovné smykové síly se již zabývali mnozí autoři. [1][2][3]. Většina projektantů není však dosud s tímto vhodným, rychlejším a přehlednějším způsobem výpočtu dostatečně obeznámena a pracně navrhuje smykovou výztuž vyčíslváním obsahu obrazce smykových napětí. Účelem tohoto článku je seznámit projektanty statiky s uvedenou metodou výpočtu, neboť tento způsob navrhování smykové výztuže je kratší, takže projektantu přináší značnou úsporu času.

Nejdříve stručně uvedme hlavní zásady navrhování smykové výztuže, posuzování soudržnosti a znění normy. Podle ČSN 73 2001 Projektování betonových staveb počítá se napětí ve smyku v průřezu namáhaném ohybem, je-li jeho tažená část obdélníková, z rovnice

$$\tau_b = \frac{1}{b} \frac{d}{dx} \left( \frac{M}{r} \right), \quad (1)$$

u nosníku stálého průřezu z rovnice

$$\tau_b = \frac{T}{b \cdot r}. \quad (2)$$

V rovnicích značí  $M$  ohybový moment ve vzdálenosti  $x$  od podpory,  $T$  rozhodující posouvající sílu (v pozemních stavbách pro plné zatížení pole),  $b$  šířku průřezu (u deskových trámů šířku žebra),  $r$  rámež vnitřních sil. Max. napětí takto vypočtené nesmí přestoupit mezní napětí betonu v tahu ve části tahu, která je způsobena rozdílem napětí  $\tau_b - 0,1\tau_{bmax}$  je třeba přisoudit společnému působení šikmých ohybů a třmín-

ků, a to u trámů v celé jejich délce, u desek jen v těch místech, kde  $\tau_b$  přestupuje hodnotu  $\frac{2\sigma}{5}$

Zde značí:

$\tau_b$  napětí ve smyku podle rov. (1) nebo (2),  
 $\tau_{bmax}$  největší napětí v příslušné části obrazce  
 smykových napětí a

$s_1$  stupeň bezpečnosti pro beton ve smyku.

Vzájemná vzdálenost trmínek má být menší než  $3d/4$ , nejvýše však 40 cm.

Napětí v soudržnosti je nutno prokazovat, mají-li jednotlivé vložky náhradní průřezovou plechu větší než  $5,5 \text{ cm}^2$  (t.j. u vložek větších než  $\phi 26$  u oceli 10370, 10512 a 10513,  $\phi 24$  u oceli 10372 a 10373 a  $\phi 20$  u oceli 10492), nebo v základových konstrukcích a stropních konstrukcích při zatížení větším než  $5 \text{ 000 kg/m}^2$ .

U konstrukcí namáhaných ohybem se počítá napětí v soudržnosti z rovnice

$$\tau_a = \frac{1}{\sigma} \frac{d}{dx} \left( \frac{M}{r} \right), \quad (3)$$

u nosníku stálého průřezu z rovnice

$$\tau_a = \frac{T}{\sigma \cdot r}, \quad (4)$$

kde  $\sigma$  značí obvod všech tahových vložek příslušného průřezu. Za obvod jedné vložky se při tom dosazuje  $3,14 \phi$  u kruhové oceli,  $3,92 \phi T$  u oceli 10492 a  $3,11 \phi R$  u oceli 10512.\*  
 Stupněm bezpečnosti se pak rozumí poměr  $\frac{\tau_m}{\tau_a}$ , kde  $\tau_m$  je mezní napětí v soudržnosti podle tab. I normy ČSN 73 2001. Tento poměr nesmí být menší než stupeň bezpečnosti  $s_1$  podle tab. IV a V téže normy.

Účinek háků se při výpočtu průměrného napětí v soudržnosti u vložek zakotvených do betonu uvažuje tak, že délka

\*Poznámka:  $\phi$ ,  $\phi T$  a  $\phi R$  jsou jmenovité průměry oceli.

působící v soudržnosti se u háků pravouhlých a ostroúhlých zvětší o 4  $\rho$ , u háků polokruhových o 12  $\rho$  (všude se desazuje jmenovitý průměr vložky). Potřebné hodnoty užívaných ocelí obsahuje tab. II uvedené normy.

Je-li napětí ve smyku vyšší než mezní hodnota pro příslušný druh betonu (tabulka I normy), je nutno zvětšit průřez. Po odečtení části, kterou přenáší podélné rovné vložky, přisuzujeme ohybům asi  $2/3$ , třmínkům pak zbytek hlavního tahu. Při pohyblivém zatížení je nutno navrhovat smykovou výztuž z čar  $\tau_{max}$ .

U pozemních staveb s nepohyblivým nahodilým zatížením je možno pro výpočet smykové výztuže uvažovat plné zatížení všech polí za předpokladu, že se délka jednotlivých polí neliší více než o 20 %. O případech, kdy rozdíly v délce polí jsou větší, a o spojitých nosnicích s pohyblivým zatížením pojednává prof. Ing. Dr. Zdeněk Bažant. [4].

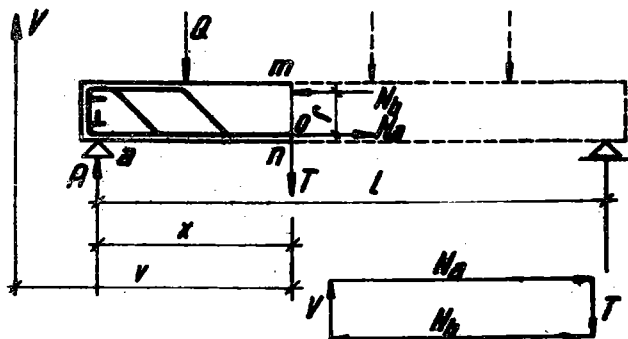
## 2. Velikost smykové síly S a její vztah ke smykovému napětí a hlavnímu tahu

V dalším výkladu se nebudeme zabývat studiem prostorové napjatosti prvku ani výpočtem tangenciálních napětí a předpokládáme znalost obecných vztahů (5), (6), (7).

### a) Nosníky s neproměnnou výškou průřezu

Uvažujeme prostý nosník libovolně zatížený s rozpětím  $l$ . Odejmeme pravou část nosníku svislým řezem  $mn$ , vzdáleným od levé podpory A o  $x$ , a její účinek na levou část nosníku nahraďme příslušnými vnitřními silami.

Tyto síly musí být v rovnováze s vnějšími silami ponechané části levé, t.j. se zatížením  $Q$  v úsečce  $x$  a s podporovou reakcí A, složenými ve výslednici  $V$  ve vzdálenosti  $v$  od řezu  $mn$  (obr. 1).



Obr. 1.

Na pravé straně řezu tedy působí vedleřivná síla  $N_b$  t.j. výslednice všech tlakových napětí, a výslednice  $N_a$  všech tahových napětí, obě výslednice ve vzájemné vzdálenosti  $r$ , a svislá posouvající síla  $T$ .

Ze součtové vřminky rovnováhy ve vodorovném směru plyne síla

$$N_b = N_a, \quad (5)$$

z vřminky ve svislém směru vychází

$$V = T. \quad (6)$$

Z momentové vřminky k bodu  $g$  plyne  $M = V \cdot v = N_b \cdot r = N_a \cdot r$ ,

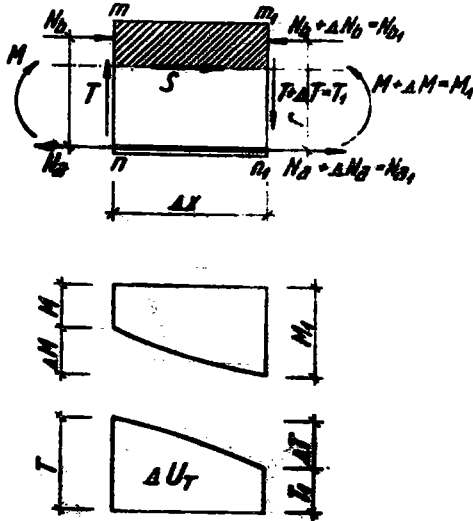
z toho síla  $N_b = \frac{M}{r} = N_a$ , (7)

kde  $M$  je moment vnřjších sil k uvařovanému řezu.

Uvařujme dále prvek nosníku mezi dvěma svislými řezy  $m_1$  a  $m_2$ , jejichž vzdálenost je  $\Delta X$  (obr.2).

V děloce  $\Delta X$  je také znázorněn odpovřdajícími obrázec momentů a posouvajících sil. Levá část nosníku působí na prvek posouvající silou  $T$  a momentem  $M$ , který lze nahradit dvojitě sil  $N_b, N_a$ . V přičném řezu  $m_2$  vzroste moment  $e$

$\Delta M$  na  $M_1$ , čímž se také zvětší tlaková síla o  $\Delta N_b$  na  $N_{b1}$  a tahová síla o  $\Delta N_a$  na  $N_{a1}$ ; je-li prvek zatížen, změní se také  $T$  o  $\Delta T$  na  $T_1$ .



Obr. 2.

Protneme nyní tento prvek vodorovnou rovinou procházející neutrální osou, odstraníme jeho spodní část a zkoumejme rovnováhu na zbylé části prvku. (v obr. 2 vyšrafováno). Z rovnováhy ve vodorovném směru plyne, že se smyková síla  $S$ , ležící v ploše řezu, rovná přírůstku tlakové síly  $\Delta N_b$ .

Je tedy

$$\Delta N_b = N_{b1} - N_b$$

$$S = \Delta N_b = N_{b1} - N_b.$$

S použitím rov.(7) pak vychází

$$S = \frac{M_1 - M}{r} = \frac{\Delta M}{r}. \quad (8)$$



Ze závislosti momentu na posouvající síle  $\frac{dM}{dx} = T$  plyne dále

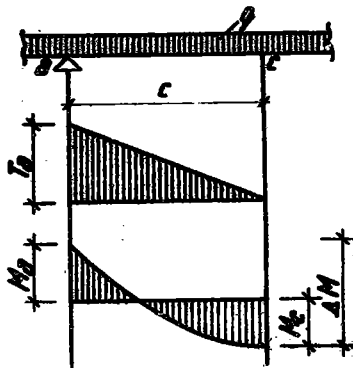
$$S = \frac{\Delta U_T}{l} = \frac{T_S \cdot \Delta x}{l}, \quad (9)$$

což lze vyjádřit takto: Smyková síla  $S$  v části  $\Delta x$  nosníku s konstantní výškou se rovná přírůstku momentu  $\Delta M$  dělenému ramenem vnitřních sil.

Přírůst momentu  $\Delta M$  je dán velikostí příslušné části plochy posouvajících sil  $\Delta U_T$ . Plochu  $U_T$  lze vyjádřit s dostačující přesností výrazem  $T_S \cdot \Delta x$ , kde  $T_S$  je střední posouvající síla části  $\Delta x$ .

Smyková síla  $S$  představuje přitom součet smykových napětí v části  $\Delta x$ .

O platnosti těchto vztahů se můžeme přesvědčit na př. touto jednoduchou úvahou: Na část nosníku rovnoměrně zatíženého v délce  $c$ , t.j. mezi podporou a a přechodným průřezem c (obr.3),



Obr. 3.

působí v bodě a moment  $M_a$  a posouvající síla  $T_a$ , v bodě c moment  $M_c$  a posouvající síla  $T_c = 0$ .

Moment

$$M_c = M_a + T_a \cdot c - 1/2 q c^2 = M_a + \Delta M.$$

Při  $T_a \cdot c = q c^2$  je

$$\Delta M = q c^2 - 1/2 q c^2 = 1/2 q c^2,$$

$$\frac{\Delta M}{r} = \frac{q c^2}{2r} = \frac{T_a \cdot c}{2r}.$$

Vodorovná smyková síla v úseku c je

$$S = 1/2 \tau_{\max} \cdot c \cdot b = \frac{T_a \cdot c}{2r},$$

je tedy

$$S = \frac{\Delta M}{r}.$$

Přepíšeme-li vzorec (9) pro délku  $\Delta x = 1$  cm,  $T_c = T$  a šířku průřezu  $b_0$ , obdržíme známé vztahy:

$$\tau_b \cdot 1 \cdot b_0 = \frac{T \cdot 1}{r}, \text{ z toho } \tau_b = \frac{T}{b_0 \cdot r}$$

a  $\tau_b \cdot \sigma \cdot 1 = \frac{T \cdot 1}{r}, \text{ z toho } \tau_b = \frac{T}{\sigma \cdot r}.$

Podle výzkumů provedených různými autory (Engesser, Kleinlogel, Bach, Graf) mění se napětí v soudržnosti vlivem účasti plastického betonu s velikostí momentu a působením příčné výztuže, zvláště ohybů; zejména se zmenšuje napětí v soudržnosti k podporám. Počítáme-li tedy napětí v soudržnosti nad podporami podle dosavadního způsobu, bylo by možno stupeň bezpečnosti u stavebních konstrukcí zmenšit až o 60 %. Nyní se tento stupeň pohybuje mezi 5 až 6, neboť skutečná pevnost v soudržnosti je asi 1/4 až 1/5 pevnosti v tlaku. Při stupni bezpečnosti zmenšeném o 50 % ( $S = \frac{2,5}{2} = 1,25$ ) byl by potom nutný obvod vložek:

pro beten 170:

$$\sigma = \frac{T \cdot s}{\alpha_2 \cdot F} = \frac{T \cdot 1,25}{12 \cdot F} = 0,1 \frac{T}{F}, \quad (10)$$

pro beten 250:

$$\sigma = \frac{T \cdot 1,25}{14 \cdot F} = 0,09 \frac{T}{F} \quad (10')$$

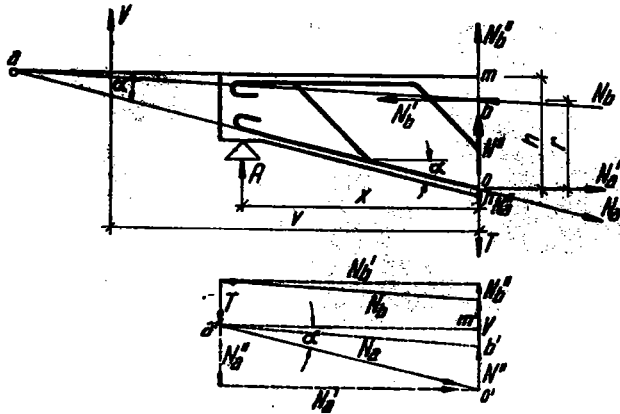
a pro beten 330:

$$\sigma = \frac{T \cdot 1,25}{16 \cdot F} = 0,08 \frac{T}{F}. \quad (10'')$$

Do těchto vzorců je nutno dosazovat  $T$  v kg,  $F$  v cm.

### b) Nosníky s proměnnou výškou průřezu

Uvažujme stejně jako u nosníku s naproměnnou výškou levou část nosníku a řešme opět rovnováhu sil (Obr.4).



Obr. 4.

V řezu  $mn$  je  $N_b$  výslednice všech tlaků v betonu,  $N_b''$  její složkou svislou a  $N_b'$  vodorovnou;  $N_a$  je výslednicí tahů ve vložkách,  $N_a''$  její složkou svislou a  $N_a'$  vodorovnou.

V je výslednice vnějších sil, T síla posouvající v řezu mn (rovnající se  $-V$ ). Mimo to, poněvadž svíslé složky tlaků a tahů nejsou v rovnováze, přistupuje ještě svíslá síla  $N''$ , působící v řezu mn. Napišeme opět tři výminky rovnováhy:

S o u š t o v á ve vodorovném směru má tvar

$$N'_b - N'_a = 0, \quad (11)$$

s o u š t o v á ve svíslém směru je dána rovnicí

$$V - T - N''_a + N''_b + N'' = 0, \quad (12)$$

m o m e n t o v á k bodu o

$$V \cdot v - N'_b \cdot r = 0 \text{ z toho } V \cdot v = M = N'_b \cdot r, \quad (13)$$

při čemž M je moment vnějších sil k řezu x.

Vnitřní síla  $N''$  je v rovnováze se silami  $N'_a$  a  $N'_b$ . Z podobnosti trojúhelníků abc a amo s trojúhelníky  $a'b'o'$  a  $a'm'o'$  plyne poměr  $r : h = N'' : N'_b \cdot \operatorname{tg} \alpha$ ;

z toho pak

$$N'' = \frac{r \cdot N'_b \cdot \operatorname{tg} \alpha}{h} = \frac{M \cdot \operatorname{tg} \alpha}{h}. \quad (14)$$

Uvažujeme dále opět částici nosníku v délce  $\Delta x$ . Moment M na levé straně se zvětší o  $\Delta M$  na  $M_1$  na pravé straně, čímž se zvětší také síla tahová  $N'_a$  o  $\Delta N'_a$  na  $N_{a1}$  a tlaková  $N'_b$  o  $\Delta N'_b$  na  $N_{b1}$  (obr.5).

Složky těchto sil jsou:  $N'_b$ ,  $N''_b$ ,  $N'_{b1}$ ,  $N''_{b1}$ ,  $N'_a$ ,  $N''_a$ ,  $N'_{a1}$ ,  $N''_{a1}$ , rozdíly složek v průřezu mn a  $m_1 n_1$  jsou  $\Delta N'_b$ ,  $\Delta N''_b$ ,  $\Delta N'_a$ ,  $\Delta N''_a$ .

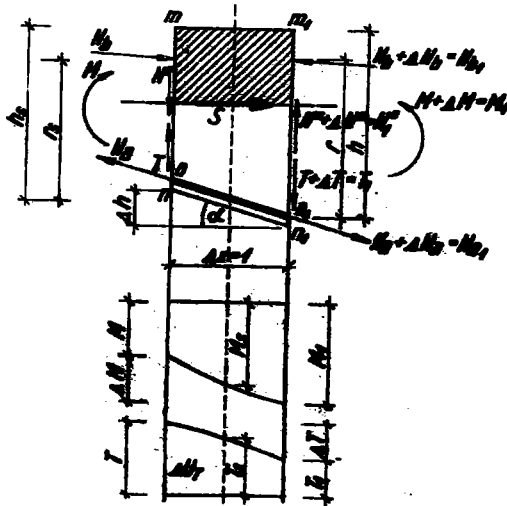
Dále působí síly T a  $T_1$ ,  $N''$  a  $N''_1$ .

Smysl síly  $N''$  je závislý na znaménku momentu a na tom, zda se výška nosníku do středu pole zvětšuje nebo zmenšuje.

Uvažujeme dále prvek v délce  $\Delta x = 1 \text{ cm}$ .

Z momentů k bodu  $o_1$  plyne:

$$(T + N'') \cdot 1 = \Delta N'_b \cdot r \text{ a } N''_b = \frac{T + N''}{r} = \Delta N'_a. \quad (15)$$



Obr. 5.

Vedeme-li opět vodorovný řez neutrální osou, plyne z rovnováhy na vodorovném směru vodorovná smyková síla  $S = \zeta_s \cdot l \cdot b_0 \cdot \Delta N'_b = \frac{T + N'}{r}$ ,  $S = \zeta_s \cdot \sigma \cdot l = \frac{T + N'}{r}$

a z toho pak známé vzorce

$$\zeta_b = \frac{T + \frac{M \cdot \operatorname{tg} \alpha}{h}}{b_0 \cdot r}, \quad (16)$$

$$\zeta_s = \frac{T + \frac{M \cdot \operatorname{tg} \alpha}{h}}{o \cdot r}. \quad (17)$$

S dostačující přesností lze určit smykovou sílu  $S$  na části  $\Delta x$  z  $\zeta_s$ , což je střední smykové napětí v délce  $\Delta x$ . Tedy

$$S = \zeta_s \cdot b_0 \cdot \Delta x = \frac{T_s \cdot \Delta x + \frac{M_s \cdot \operatorname{tg} \alpha \cdot \Delta x}{h_s}}{r_s} = \frac{\Delta N + \frac{M_s \cdot \Delta h}{h_s}}{r_s}, \quad (18)$$

kde  $T_s$ ,  $M_s$ ,  $h_s$ ,  $r_s$  značí střední hodnoty pro uvažované části.

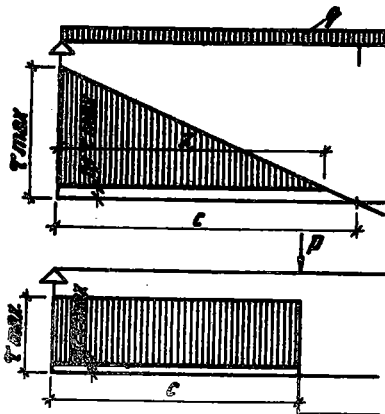
Doplňk  $N''$  tangenciální napětí  $\tau$  zmenšuje, je-li protisměrný síle  $T$ ; při stejnosměrnosti se  $\tau$  zvětšuje. To znamená, že  $\text{tg } \alpha$  je záporné (kladné), jestliže výška nosníku směrem od podpory vzrůstá (klesá). Do všech vzorů je nutno  $M_x$  i  $M_y$  dosazovat vždy s ohledem na znaménka. Ostatní veličiny se uvádějí v absolutních hodnotách.

2. Velikost smykové výztuže  $F_o$  a  $F_t$ ; smyková síla směrematná pro návrh a tabulky pro navrhování smykové výztuže

Podle normy ČSN 73 2001 Projektování betonových staveb je možno taženým podélným vložkám přisoudit tu část celkového hlavního tahu, která je způsobena rozdílem napětí  $\tau_y - 0,1 \tau_{y, \max}$ .

Pro plné rovnoměrné zatížení nosníku (obr.6) tedy platí:

$$\begin{aligned} S &= U = \tau_{y, \max} \cdot c \cdot b_o \cdot 1/2, \\ S' &= U' = 0,9 \cdot \tau_{y, \max} \cdot 0,9 \cdot c \cdot b_o \cdot 1/2, \\ S' &= 0,81 [1/2 \cdot \tau_{y, \max} \cdot c \cdot b_o], \\ \underline{S' = 0,81 \cdot S.} \end{aligned} \quad (19)$$



Obr. 6.

Pro zatížení osamělým břemenem je však

$$\begin{aligned} S &= U = \zeta_{b, \max} \cdot c \cdot b_0, \\ S' &= U' = 0,9 \zeta_{b, \max} \cdot c \cdot b_0, \\ \underline{S' &= 0,9 \cdot S} \end{aligned} \quad (20)$$

Jak je z těchto dvou zatěžovacích případů patrné, redukuje se podle uvedené normy podélná smyková síla pro každý případ zatížení i vlivem náběhu v různém poměru. Pro plné zatížení rovnoměrné činí její zmenšení téměř 20 %, pro zatížení břemenem 10 %, pro nosník s náběhy asi 15 až 30 % a pro soustavu břemen až 50 % i více. Poněvadž pro návrh smykové výztuže je nakonec rozhodující právě jen velikost podélné smykové síly, bylo by logičtější dříve tuto smykovou sílu v určitém poměru redukovat. Podle zkušeností, ale také se zřetelem na přípustné rozevření trhlinek lze za nejlepší pokládat poměr  $\mu = \frac{S'}{S} = 0,9$ . V tom případě nezávisí redukce ani na druhu zatížení, ani na proměnnosti průřezu a lépe odpovídá skutečnosti. Při poměru  $\mu = 0,9$  a přibližném, avšak v běžných stavebních konstrukcích pro tento účel dostačujícím předpokladu  $r = 0,9$  h se vzorce (8) a (18) ještě dále zjednoduší. U prismatických nosníků vyjde

$$S' = \frac{AM}{0,9 \cdot h} \cdot 0,9 = \frac{AM}{h}, \quad 20'$$

u nosníků s proměnnou výškou je

$$S' = \frac{AM + \frac{M_s \cdot \Delta h}{h_s}}{0,9 \cdot h_s} \cdot 0,9 = \frac{AM}{h_s} + \frac{M_s \cdot \Delta h}{h_s^2}. \quad 20''$$

V příkladu uvedeném v závěru tohoto článku je počítáno se zmenšením smykové síly o 10 %.

Hlavní napětí působí k podélné ose trámu šikmo, přibližně pod úhlem  $45^\circ$ . V jednom směru působí tahy  $N_a$ , kolmo na ně tlaky  $N_b$ . Obě síly jsou tedy složkami podélné smykové síly  $S$ . Šikmý tah  $N_a = S \cdot \cos 45^\circ$ . Smyková výztuž se skládá ze šikmých vložek s průřezovou plochou  $F_0$  a z třaníků s průřezovou plochou  $F_t$ . Šikmé vložky, svírající úhel  $\beta$  s tahovou

silou  $N_a$ , mohou přenést pouze sílu  $F_0 \cdot \cos \beta$ . Pro sílu v šikmých vložkách skloněných pod  $45^\circ$  a ve svislých třemenech potom platí závislost

$$\frac{\mathcal{R}_a \cdot s}{\mathcal{R}_a \cdot c} = \frac{S \cdot \cos 45^\circ \cdot s}{\mathcal{R}_a \cdot c} = F_0 + F_t \cdot \cos 45^\circ.$$

$$\text{Když } S = \sqrt{2} \cdot F_0 \cdot \frac{\mathcal{R}_a \cdot c}{s} + F_t \cdot \frac{\mathcal{R}_a \cdot c}{s} = S_0 + S_t, \quad (21)$$

kde  $\mathcal{R}_a = 2300 \text{ kg/cm}^2$  značí mezní napětí oceli a  $s$  stupeň bezpečnosti,  $c = 1$  až  $1,65$  je převodní součinitel podle ČSN a  $F_t = 2 \cdot f_t$  je plocha třmínek dvoustřížných,  $F_t = 4 f_t$  plocha třmínek čtyřstrážných atd. Pro snadný a rychlý návrh smykové výztuže jsme vypočetli pomocné tabulky 1 - 6. V nich jsou vyčísleny síly  $S_0$  pro šikmé vložky, jakož i síly  $S_t$  pro a svislých třmínek na 1 bm (uvažováno je mezní napětí vložek  $2300 \text{ kg/cm}^2$ , stupeň bezpečnosti  $s = 1,9$ , převodní součinitel  $c = 1; 1,15; 1,65$ , třmínky dvoustřížné, čtyřstrážné, šestistrážné a osmistrážné). Šikmé vložky s průřezovou plochou  $F_0$  přenášejí v délce  $x$ , jde-li o nosník s neměnnou výškou,

$$\text{přírůstek momentu } \Delta M_0 = S_0 \cdot r,$$

$$\text{posouvající sílu } T_0 = \frac{S_0 \cdot r}{x}$$

$$\text{tangenciální napětí } \tau_{00} = \frac{S_0}{b_0 \cdot x}.$$

a dvoustřížných (čtyřstrážných) třmínek s průřezem  $2 \cdot f_t$  ( $4 \cdot f_t$ ) při vzdálenosti třmínek  $a$  přenášejí v délce  $x$  u nosníku s neměnnou výškou přírůstek momentu  $\Delta M_t = S_t \cdot r$ , posouvající sílu  $T_t = \frac{S_t \cdot r}{x}$

$$\text{a tangenciální napětí } \tau_{01} = \frac{S_t}{b_u \cdot x} = \frac{2 \cdot f_t \cdot \mathcal{R}_a}{s \cdot b_0 \cdot a},$$

a čtyřstrážných třmínek pak napětí

$$\frac{f_t \cdot \mathcal{R}_a}{s \cdot b_0 \cdot a}.$$

Podle normy ČSN 73 2001 nesmí namáhání ve smyku přestoupit mezní napětí, jež podle druhu betonu činí 13 až  $35 \text{ kg/cm}^2$



V některých jednodušších případech, kdy přesnou velikost maximální posouvající síly nemusíme znát ani pro výpočet podporující konstrukce, ani pro výpočet ohybových momentů konstrukce samé (na př. u zděných staveb se žebrovými stropy), lze posoudit, zda smykové napětí vyhovuje předepsaným hodnotám přímo z podélné smykové síly.

Pro plné zatížení rovnoměrné je

$$\begin{aligned} \tau_{lq} \max \cdot \frac{c_q \cdot b}{2} &= S_q, \\ \tau_{lq} \max &= \frac{2 \cdot S_q}{c_q \cdot b} \leq \alpha_t. \end{aligned} \quad (22)$$

Pro zatížení jedním břemenem nebo dvěma břemeny symetricky položenými k polovině rozpětí nosníku je

$$\begin{aligned} \tau_{lp} \max \cdot c_p \cdot b &= S_p, \\ \tau_{lp} \max &= \frac{S_p}{c_p \cdot b} \leq \alpha_t. \end{aligned} \quad (23)$$

kde  $b$  je šířka průřezu,  $c_q$  a  $c_p$  jsou vzdálenosti přechodného průřezu od podpory (u zatížení dvěma symetricky položenými břemeny je to vzdálenost břemene od podpory)  $\tau_{lq}$ ,  $S_q$  přísluší zatížení rovnoměrnému  $\tau_{lp}$ ,  $S_p$  pak zatížení osamělými břemeny. Pro společné působení rovnoměrného zatížení i břemen platí výraz

$$\tau_{lq} \max + \tau_{lp} \max = \frac{2 \cdot S_q}{c_q \cdot b} + \frac{S_p}{c_p \cdot b} \leq \alpha_t. \quad (24)$$

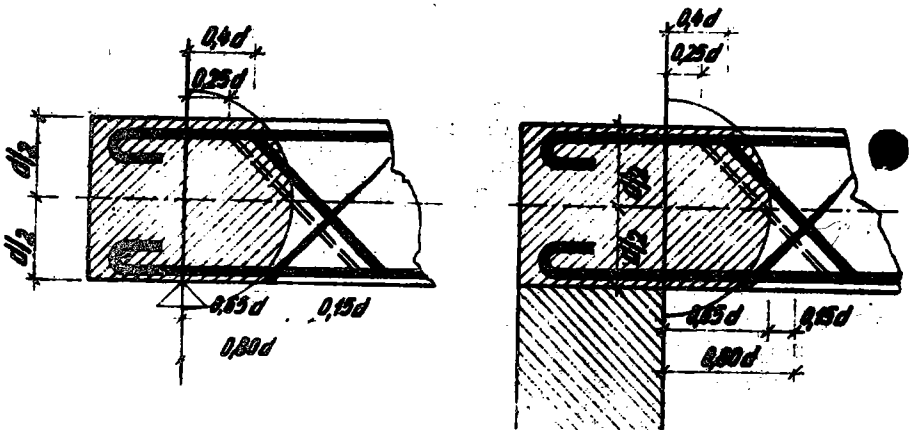
Pro zatížení více břemeny nebo tam, kde je nutno určit maximální posouvající sílu pro výpočet momentů, je jednodušší obvyklý postup z rovnice

$$\frac{T_{\max}}{b \cdot r} \leq \alpha_t.$$

Pro návrh i pro rozdělení smykové výztuže je však možno výhodněji použít i v těchto případech vodorovné smykové síly. Smyková výztuž navrhuje se pak vždy mezi dvěma břemeny samostatně, do vzorce (20'), resp. (20'') dosazuje se za  $\Delta M$  vždy pouze příslušný rozdíl momentů ve vzdálenosti sousedních břemen.

#### 4. Rozdělení smykové výztuže

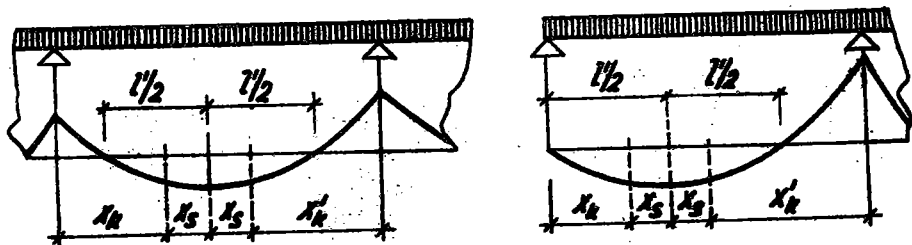
Ve většině případů není u pozemních konstrukcí nutno smykovou výztuž rozdělovat podle průběhu tangenciálních napětí, vzhledem k působení různých účinků, které nelze předem přesně stanovit (na př. pro neurčitost zatížení, stupně vetknutí, způsobu roznášení břemen a pod.). Stačí tedy zpravidla, jestliže vypočtenou smykovou výztuž rozdělíme podle citu. Při takovémto rozdělení smykové výztuže je však třeba přihlídnouti k napjatosti nad podporou. Tangenciální napětí je složka hlavních šikmých napětí, která jsou ovlivněna také napětími normálními  $\frac{1}{2}$ , kolnými k pedálné ose, která vznikají rozptylem soustředěných tlaků v nejbližším okolí působišť osamělých břemen. Takovými osamělými břemeny jsou zvláště reakce. Je-li napětí  $\frac{1}{2}$  tlakem, je hlavní napětí v tahu menší než  $\frac{2}{3}$  asi o  $1/3$  této hodnoty (obr.7). Nejsou tedy podporové průřezy co do napětí šikmým tahem nejnebezpečnější, což je také prokázáno mnoha zkouškami. Zmenšení šikmého tahu účinkem napětí  $\frac{1}{2}$  trvá do vzdálenosti  $0,65 d$  (pedle Baye) od bodové podpory nebo okraje uložení v rovině osy trámu. Podle toho je tedy správná poloha prvního ohybu ve vzdálenosti  $0,65$  až  $0,80 d$



Obr. 7.

od theoretického podporového bodu neb okraje podpory, měřeno v ose trámu; měřeno v ose horních vložek je tato vzdálenost rovna 0,25 až 0,40  $l$ . U zvláště silně zatížených konstrukcí nebo v některých jiných zvláštních případech, kdy je nutno smykovou výztuž správně rozdělit, je nejvýhodnější použít čáry vodorovné smykové síly  $Q$  (což je vlastně součtová čára smykových napětí). Tento způsob je proti jiným, obvykle používaným metodám mnohem snadnější, kratší a nijak se nekomplikuje proměnností průřezu nebo zatížení.

V určité oblasti  $x_s$  každého pole nosníku, (obr.8) po stranách přechodného průřezu, nelze k zachycení smyku použít ohnutých vložek. Veškerá smyková napětí musí zde převzít tříminky. V okrajových oblastech  $x_k$  (mezi úsekem  $x_s$  a podporou) přenášejí smyková napětí ohnuté vložky společně se tříminky. Poměr délek  $x_s$  a  $x_k$  k rozpětí  $l$  je závislý na zatížení, průběhu momentů a na počtu vložek v průřezu. Určení těchto poměrů pro zvláštní případy nosníka s určitým zatížením plyne pro 3 až 8 vložek z tabulky 7.



Obr. 8.

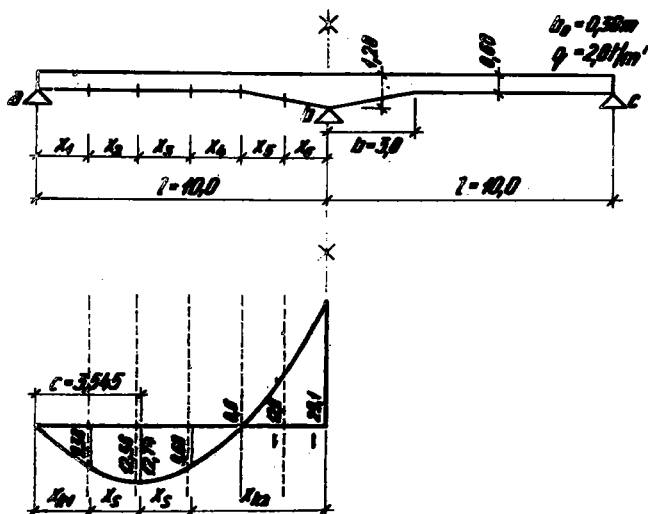
K vypočteným délkám  $x_s$  je nutno připočítat délku vložky potřebnou pro zabezpečení soudržnosti. Část ohybu pod osou trámu počítá se do této délky pouze svým svislým průmětem. U spjitých nosníků s průřezem proměnné výšky a zatížených rovnoměrně se délka  $x_s$  vypočítá z redukovaného rozpětí  $l'$ , rovnajícího se části nosníku, ve které je kladný moment (obr.8). Proměnou šířky průřezu není ovlivněna čára smykové síly.

2. Příklad: spojitý nosník o dvou polích s průřezem proměnné výšky při střední podpoře

(obr.9).

Rozměry průřezu: pole  $d = 60$  cm,  $b_0 = 30$  cm, střední podpera  $d = 120$  cm,  $b_0 = 30$  cm; rozpětí každého pole  $l = 10$  m, délka náběhu ve střední podpoře  $b = 3,0$  m, poměr momentů setrvačnosti v poli a v podpoře  $b$  je  $\frac{I_a}{I_b} = 0,50$ . Zatížení rovnoměrné  $k = 2,0$  t/m'.

Moment v podpoře  $b$  má hodnotu  $M_b = -29,10$  tm, momenty mezi podporami plynou z obr. 9.



obr. 9.

Vedleřvné smykové síly pro úseky  $x_1$  až  $x_6$ , podle rovnice (8), resp. (18), zmenšené součinitelem  $\mu = 0,9$ , mají hodnotu:

$$S_{x1} = 16200 \text{ kg}$$

$$S_{x2} = 5510 \text{ kg}$$

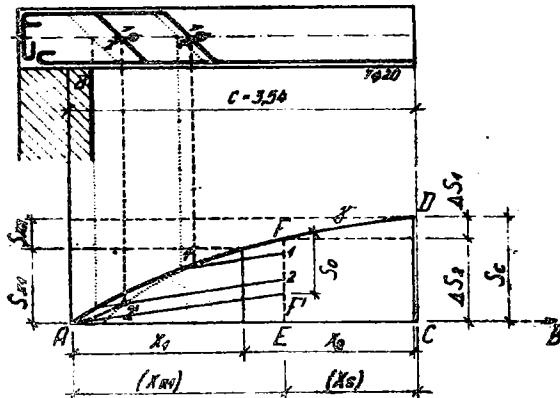
$$S_{x3} = 5130 \text{ kg}$$

$$S_{x4} = 15600 \text{ kg}$$

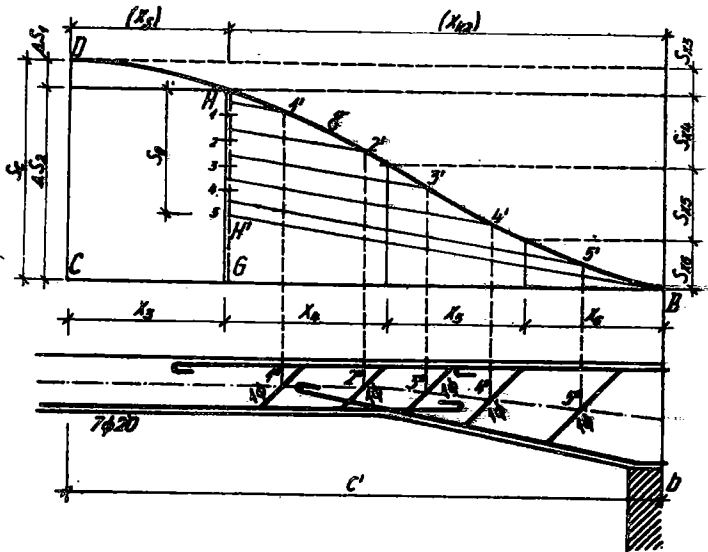
$$S_{x5} = 15100 \text{ kg}$$

$$S_{x6} = 10200 \text{ kg.}$$

Pro krytí záporného momentu v podpoře i kladného momentu v poli je navrženo 7  $\phi$  20. Patřebný počet spodních vložek v podpoře plyne ze vztahu (10 až 10<sup>n</sup>). V podpoře a i b stačí 2  $\phi$  20. Z rovnic (8), (18) vypočteme potom vodorovnou smykovou sílu  $S_{xn}$  pro jednotlivé, libovolně volené části nosníku  $x_n$  (v našem případě  $x_1$  až  $x_6$ ) a redukuje je součinitelem  $\mu = 0,9$ . Za rameno vnitřních sil použije se hodnoty z návrhu ohybových tahových vložek, v náběhu stačí předpokládat přímkovou proměnu ramene mezi hodnotou pro průřez v poli a průřez podporový. S dostačující přesností lze také dosazovat  $r = 0,9 h$  a použít vztahů (8), (20<sup>n</sup>). Podle tabulky 7 se dále ještě určí délka  $x_3$ , ve které není možno vložky ohýbat. V našem případě je pro délku  $l' = 2c = 7,090$  m délka  $x_3 = 0,19 \cdot 7,09 = 1,35$  m. Nyní se pro část nosníku nalevo a napravo od přechodného průřezu provede rozdělení smykové výstuže (obr.10, 11).



Obr. 10.



Obr. 11.

Čáru smykové síly  $\mathcal{S}$  stanovíme tak, že na osu, vztyčenou na př. v podporovém bodě, vyneseme síly  $S_{xn}$  v měřítku sil a určíme průsečíky se svislicemi, jež vedeme dělicími body: dílků  $x_1$  až  $x_6$ . Zde každá pořadnice ve vzdálenosti  $x$  od podpory mezi základnou  $AC/CB/$  a křivkou  $\mathcal{S} = AB (DB)$  odpovídá součtu smykových sil od podpory až k tomuto průřezu. Smyková síla jakékoli části nosníku rovná se potom rozdílu pořadnic v okrajových bodech části. V úseku  $x_3 = \overline{EC} / \overline{CG}/$  je smyková síla  $\Delta S_1$  zachycena pouze tříminky. Jejich počet a profil najdeme přímo z tab. 4 až 6. V úseku  $\overline{AE} / \overline{GB}/$  přenášejí smykovou sílu chyby společně s tříminky. Vložky, které můžeme ohnout, přenesou podélnou smykovou sílu  $S_0$  podle tab. 1 až 3. V podpoře a provedeme pouze dva chyby, v podpoře b piný počet možných onybů, t. j. pět.

V úseku  $\overline{AE} / \overline{GB}/$  je smyková síla  $\Delta S_2$ . Sílu  $S_0$  vyneseme z bodu

$F(H)$  dělá jako  $\overline{FF'}$  ( $\overline{HH'}$ ). Zbytek pořadnice  $\overline{F'E}$  ( $\overline{H'G}$ ) je smyk-  
ková síla, kterou musí přenést třmínky. Profil i počet třmín-  
ků plyne pak z tab. 4 až 6.

Polohu ohybů určíme tak, že úsek  $\overline{FF'}$  /  $\overline{HH'}$  / rozdělíme na tolik  
stejných dílů, kolik se ohýbá vložek, a vedeme rovnoběžky  
středy těchto dílů se spojnicí  $\overline{AF'}$  /  $\overline{H'B'}$ /. Je-li profil ohýba-  
ných vložek nestejný, vyneseme od bodu  $F(H)$  podíly smykové  
síly  $S_0$ , které přenášejí jednotlivé vložky (z tab. 1 až 3),  
a to v takovém pořadí, v jakém je chceme ohýbat od středu  
nosníku. Průsečíky těchto rovnoběžek s čarou smykové síly,  
přenesené svisle na střednici nosníku, dávají již polohu ohy-  
bů.

U prostého nosníku libovolně zatíženého souhlasí  
momentová čára s čarou smykové síly  $\mathcal{J}$ , neboť podporové momen-  
ty jsou tu rovny nule a v každém průřezu je  $S = \frac{M}{r}$ . Stačí  
tedy při grafickém rozdělení smykové výztuže vynést jen mo-  
mentovou čáru a přímo v ní uvedeným způsobem rozdělit výztuž.  
Místo abychom vynášeli sílu  $S_0$ , kterou přenášejí ohyby, bude-  
me všem vynášet moment  $M_0 = S_0 \cdot r$ . Třmínky se pak navrhnou  
pro sílu  $S_t$ , plynoucí z rozdílu momentu  $M - M_0$ , děleného rame-  
nem vnitřních sil :  $S_t = \frac{M - M_0}{r}$ .

## L i t e r a t u r a

- 1 Fritz Weil - Beton und Eisen 1926, H.11, str. 201,
- 2 B. Löser - Bestimmung der Balkenschubsicherung  
aus der Schubkraftlinie - B.u.E.1932,H.5,
- 3 B. Löser - Bemessungsverfahren 1. - 10. vyd. -  
Berlin, 1925 - 1955,
- 4 Zđ.Bažant - Stavebná mechanika I - II, 3.vyd.,Praha 1946,
- 5 Zđ.Bažant - Pružnost a pevnost, 3.vyd., Praha 1944,
- 6 St.Bechyně - Betonové stavitelství II, 1.vyd.,Praha 1938,
- 7 S.P.Timošenko - Pružnost a pevnost I, 1.vyd.překl.,  
Praha 1951.



Расчет и распределение арматуры на скалывание,  
исходя из горизонтального скалывающего усилия

Р е з ю м е

Целью настоящей работы является ознакомление широкой технической общественности с мало до сего времени применяемым способом расчета арматуры на скалывание, исходя из горизонтального скалывающего усилия. После краткого перечисления как некоторых положений действующего стандарта ЧСН № 732001, так и основных принципов расчета арматуры на скалывание, приводится вывод горизонтального усилия  $S$  в соответствии с /3/. Для постоянного сечения получается  $S = \Delta M / g$ , что словами можно выразить следующим образом: скалывающее напряжение на  $\Delta x$  участке балки с постоянной высотой  $h$  равняется приращению момента  $\Delta M$ , деленному на плечо внутренних сил. Причем скалывающее усилие представляет сумму скалывающих напряжений на участке  $\Delta x$ .

Напряжения в сечении уменьшаются по мере приближения к опорам, так что у строительных конструкций /при ныне применяемом способе расчета/ над опорами было бы возможно понизить степень безопасности даже на 50 %; в таком случае расчет контура арматуры производится из простого соотношения  $\sigma = 0.1 \frac{T}{g} / \frac{kg}{cm}$ .

Для балок с переменной высотой сечения скалывающее усилие  $S$  может быть представлено в виде:

$$S = \frac{\Delta M + \frac{M_s \cdot \Delta h}{h_s}}{g_s}$$

где значения  $M_s$ ,  $h_s$ ,  $g_s$  являются средними значениями рассматриваемого участка.

Для балок с различной нагрузкой и с влиянием втуток скалывающее усилие редуцируется в соответствии с положениями нормы № 732001, ст. 96 в различной степени. Поэтому было бы более логично в продольной арматуре принимать вместо участка основного растяжения участок продольного скалывающего усилия. Для призматических балок, применяемых при обычных строительных конструкциях при условии, что 10 % скалывающего усилия воспринимает продольная арматура, т.е.  $r = 0.9 h$ , расчет  $S$  производится из уравнения  $S = \Delta M/h$ .

Арматура на скалывание состоит из отгибов и хомутов, воспринимающих слагающие  $S_0$  и  $S_t$  продольного скалывающего усилия. Для простоты и быстроты расчета арматуры на скалывание были составлены таблицы значений усилий  $S_0$  для отогнутых стержней и усилий  $S_t$  для  $n$  вертикальных хомутов на  $l$  м /учитывая, что предельное напряжение стержней равняется  $2300 \text{ кг/см}^2$ , степень безопасности  $S = 1.9$ , переводный коэффициент  $C = 1.0$ ;  $1.15$ ;  $1.65$  и что были применены двух-, четырех-, шести- и восьмиветвенные хомуты/.

В определенной  $X_s$  зоне каждой балки, на сторонах переходного сечения, отогнутые стержни не могут быть использованы для восприятия скалывания. В крайних зонах  $X_k$  /между участком  $X_s$  и опорой/ отогнутые стержни воспринимают оказывающие напряжения совместно с хомутами. Отношение длин  $X_s$  и  $X_k$  к пролету  $l$  зависит от нагрузки сверху моментов и от числа стержней в сечении; для некоторых особых случаев были вычислены отношения  $X_s/l$  и  $X_k/l$  для различного числа стержней в сечении, приведены в виде таблиц.

Применение этого метода иллюстрируется путем приведения числовых примеров на непрерывной балке с переменным сечением. Кроме этого приводится также и графическое распределение отгибов.

Calcul et répartition de l'armature de cisaillement de l'effort tranchant horizontal

Résumé

Ce rapport a l'intention de mettre les travailleurs techniques au courant de la méthode, peu utilisée jusqu'à présent, de calcul de l'armature de cisaillement devant résister à l'effort tranchant horizontal. L'énumération succincte de certaines dispositions de la norme en vigueur ČSN 73 2001 et des principes essentiels du calcul des armatures de cisaillement est suivie de la dérivation de l'effort tranchant horizontal  $S$  en concordance avec (3). Pour une poutre de section invariable on a  $S = \Delta M/r$ , ce qui, exprimé en mots, veut dire: l'effort tranchant  $S$  dans la partie  $\Delta x$  d'une poutre de la hauteur constante  $h$  est égal à l'accroissement du moment  $\Delta M$  divisé par le bras de levier des forces intérieures. L'effort tranchant  $S$  représente la somme des contraintes de cisaillement dans la partie  $\Delta x$ .

La contrainte de cohésion diminue vers les appuis et il serait possible (avec la méthode actuelle de calcul), pour les constructions d'ouvrages, d'abaisser, sur appuis, le degré de sécurité jusqu'à concurrence de 50 %; dès lors on pourra calculer le périmètre des barres, par exemple pour le béton 170, par l'application de la simple relation

$$\sigma = 0,1 \frac{T \text{ (kg)}}{r \text{ (cm)}} .$$

Pour les poutres à section de hauteur variable, l'effort tranchant  $S$  résulte sous la forme:

$$S = \frac{\Delta M \mp \frac{M_s \cdot \Delta h}{h_s}}{r_s} ,$$

où  $M_s$ ,  $h_s$ ,  $r_s$  sont les valeurs moyennes de la partie considérée.

Pour les poutres à charges variées et par l'influence des goussets, l'effort tranchant se réduit en proportion différente, d'accord avec les dispositions de la norme 73 2001, art. 96. Il serait alors plus logique d'attribuer

à l'armature longitudinale une partie de l'effort tranchant longitudinal au lieu d'une partie de l'effort principal de traction. Pour les poutres prismatiques des constructions d'ouvrages courants, on peut, en attribuant 10 % de l'effort tranchant à l'armature longitudinale pour  $r = 0,9 h$ , calculer  $S$  par l'application de l'équation  $S = \Delta M/h$ .

L'armature de cisaillement se compose de barres relevées et d'étriers qui transmettent les composantes  $S_0$  et  $S_t$  de l'effort tranchant longitudinal. Dans l'intérêt d'un calcul facile et rapide de l'armature de cisaillement on a dressé des tableaux numériques indiquant les forces  $S_0$  pour les barres obliques ainsi que les forces  $S_t$  pour  $n$  étriers verticaux par mètre linéaire (on considère la tension limite des barres à 2300 kg/cm<sup>2</sup>, le degré de sécurité  $s = 1,9$ , le coefficient  $c = 1,0; 1,15; 1,65$ , les étriers à deux, quatre, six et huit sections de cisaillement).

Dans une certaine partie  $x_s$  de chaque poutre, près de la section critique, on ne peut pas utiliser des barres relevées pour supporter l'effort tranchant. Dans les parties extrêmes  $x_k$  (entre la partie  $x_s$  et l'appui), les efforts de cisaillement se transmettent par les barres relevées en coopération avec les étriers. Le rapport des distances  $x_s$  et  $x_k$  à la longueur  $l$  dépend de la charge, de la répartition des moments et du nombre de barres de la section; pour certains cas spéciaux on a dressé un tableau des valeurs  $x_s/l$  et  $x_k/l$  pour différent nombre de barres de la section.

L'application de cette méthode est illustrée par l'exemple numérique d'une poutre continue de section variable; en outre, la répartition des barres relevées est effectuée graphiquement.

Tab. 1 - Ohyby hlavní výstuže

Oseř 10002  
a 10370
$$S_0 = \sqrt{2} \cdot F_0 \cdot \frac{\alpha_a}{s} \cdot c \quad (\text{v tunách})$$

$c = 1,00$   
 $\alpha_a = 2300 \text{ kg/cm}^2$   
 $s = 1,9$

g	p o ě t o h y b ů								
	1	2	3	4	5	6	7	8	9
6	0,260	0,52	0,78	1,04	1,30	1,56	1,81	2,08	2,34
7	0,659	1,32	1,98	2,64	3,29	3,95	4,61	5,27	5,93
8	0,861	1,72	2,58	3,44	4,30	5,17	6,03	6,89	7,75
10	1,344	2,69	4,03	5,37	6,72	8,06	9,41	10,75	12,09
12	1,936	3,87	5,81	7,74	9,68	11,62	13,55	15,49	17,49
14	2,634	5,27	7,90	10,54	13,17	15,80	18,44	21,07	23,71
16	3,442	6,88	10,33	13,77	17,21	20,65	24,09	27,54	30,98
18	4,356	8,71	13,07	17,42	21,78	26,14	30,49	34,85	39,21
20	5,378	10,76	16,13	21,51	26,89	32,27	37,65	43,02	48,40
22	6,506	13,01	19,52	26,02	32,53	39,04	45,54	52,05	58,55
24	7,744	15,49	23,23	30,97	38,72	46,46	54,20	61,95	69,69
26	9,087	18,17	27,26	36,35	45,44	54,52	63,61	72,70	81,78
28	10,540	21,08	31,62	42,16	52,70	63,24	73,78	84,32	94,86
30	12,100	24,20	36,30	48,40	60,50	72,60	84,70	96,80	108,90
32	13,765	27,53	41,30	55,06	68,83	82,60	96,36	110,12	123,89
34	15,540	31,08	46,62	62,16	77,70	93,24	108,78	124,32	139,86
36	17,423	34,85	52,27	69,69	87,11	104,54	121,96	139,38	156,81
38	19,410	38,82	58,23	77,64	97,03	116,46	135,87	155,28	174,69
40	21,509	43,02	64,53	86,04	107,54	129,05	150,56	172,07	193,58
42	23,707	47,41	71,12	94,83	118,53	142,24	165,95	189,65	213,36
44	26,035	52,07	78,10	104,14	130,17	156,21	182,24	206,28	234,31
46	28,448	56,90	85,34	113,80	142,24	170,69	199,14	227,58	256,03
48	30,961	61,96	92,94	123,92	154,91	185,89	216,87	247,85	278,83
50	33,617	67,23	100,85	134,47	168,09	201,70	235,32	268,94	302,56
52	36,356	72,71	109,07	145,42	181,78	218,14	254,50	290,85	327,20
56	42,159	84,32	126,46	168,63	210,79	252,95	295,11	337,27	379,43
60	48,389	96,78	145,17	193,56	241,94	290,33	338,72	387,11	435,50

Tab. 2 - Ohyby hlavní výztuže

Ocel 10372

$S_0 = \sqrt{2} \cdot F_0 \cdot \frac{\alpha a}{s} \cdot \sigma$ (v tunách)		počet ohybů								
		1	2	3	4	5	6	7	8	9
6	0,299	0,60	0,90	1,20	1,50	1,80	2,09	2,39	2,69	
7	0,758	1,52	2,27	3,03	3,79	4,55	5,30	6,06	6,82	
8	0,990	1,98	2,97	3,96	4,95	5,94	6,93	7,92	8,91	
10	1,546	3,09	4,64	6,18	7,73	9,28	10,82	12,37	13,91	
12	2,226	4,45	6,68	8,90	11,13	13,36	15,58	17,81	20,03	
14	3,029	6,06	9,09	12,12	15,14	18,17	21,20	24,23	27,26	
16	3,958	7,92	11,87	15,83	19,79	23,75	27,71	31,66	35,62	
18	5,009	10,02	15,03	20,04	25,04	30,05	35,06	40,07	45,08	
20	6,185	12,37	18,56	24,74	30,92	37,11	43,30	49,48	55,66	
22	7,482	14,96	22,45	29,93	37,41	44,89	52,37	59,86	67,34	
24	8,906	17,81	26,72	35,62	44,53	53,44	62,34	71,25	80,15	
26	10,450	20,90	31,35	41,80	52,25	62,70	73,15	83,60	94,05	
28	12,121	24,24	36,36	48,48	60,60	72,73	84,85	96,97	109,09	
30	13,915	27,83	41,74	55,66	69,57	83,49	97,40	111,32	125,24	
32	15,830	31,66	47,49	63,32	79,15	94,98	110,81	126,64	142,47	
34	17,871	35,74	53,61	71,48	89,36	107,23	125,10	142,97	160,84	
36	20,036	40,07	60,11	80,14	100,18	120,22	140,25	160,29	180,32	
38	22,321	44,64	66,96	89,28	111,60	133,93	156,25	178,57	200,89	
40	24,735	49,47	74,20	98,94	123,68	148,41	173,14	197,88	222,61	
42	27,263	54,53	81,79	109,05	136,32	163,58	190,84	218,10	245,37	
44	29,940	59,88	89,82	119,76	149,70	179,64	209,58	239,52	269,46	
46	32,761	65,52	98,28	131,04	163,80	196,57	229,33	262,09	294,85	
48	35,628	71,26	106,88	142,51	178,14	213,77	249,40	285,02	320,65	
50	38,659	77,32	115,98	154,64	193,30	231,95	270,61	309,27	347,93	
52	41,809	83,62	125,44	167,24	209,04	250,85	292,66	334,47	376,28	
56	48,483	96,97	145,45	193,93	242,42	290,90	339,38	387,86	436,35	
60	55,647	111,29	166,94	222,59	278,24	333,88	389,53	445,18	500,82	

$$\begin{aligned} \sigma &= 1,15 \\ \alpha a &= 2300 \text{ kg/cm}^2 \\ s &= 1,9 \end{aligned}$$

Tab. 3 - Ohyby hlavní výztuže

Ocel 10512  
(Rozor)
$$S_0 = \sqrt{2} \cdot F_0 \cdot \frac{\sigma_a}{s} \cdot c \text{ (v tunách)}$$

$$c = 1,65$$

$$\sigma_a = 2300 \text{ kg/cm}^2$$

$$s = 1,9$$

Ø	p o ě t o h y b ů								
	1	2	3	4	5	6	7	8	9
8	0,870	1,74	2,61	3,48	4,35	5,22	6,09	6,96	7,83
10	1,361	2,72	4,08	5,44	6,81	8,17	9,53	10,89	12,25
12	1,957	3,91	5,87	7,83	9,79	11,74	13,70	15,66	17,61
14	2,666	5,33	8,00	10,66	13,33	16,00	18,66	21,33	23,99
16	3,482	6,96	10,45	13,93	17,41	20,89	24,38	27,86	31,34
18	4,406	8,81	13,22	17,62	22,03	26,43	30,84	35,25	39,65
20	5,439	10,88	16,32	21,76	27,20	32,64	38,08	43,52	48,95
22	6,583	13,17	19,75	26,33	32,92	39,50	46,08	52,67	59,25
24	7,834	15,67	23,50	31,34	39,17	47,01	54,84	62,68	70,51
26	9,193	18,38	27,58	36,77	45,96	55,16	64,35	73,54	82,74
28	10,664	21,33	31,99	42,66	53,32	63,99	74,65	85,31	95,98
30	12,240	24,48	36,72	48,96	61,20	73,44	85,68	97,92	110,16
32,5	14,375	28,75	43,13	57,50	71,88	86,25	100,63	115,00	129,38
35	16,663	33,32	49,99	66,65	83,32	99,98	116,64	133,31	149,97
40	21,775	43,55	65,32	87,10	108,87	130,65	152,42	174,20	195,97
45	27,537	55,07	82,61	110,15	137,68	165,22	192,76	220,29	247,83
50	34,004	68,01	102,01	136,02	170,02	204,02	238,03	272,03	306,04
55	41,150	82,30	123,45	164,60	205,75	246,90	288,05	329,20	370,35
60	48,973	97,94	146,92	195,89	244,86	293,84	342,81	391,78	440,75
65	57,474	114,95	172,42	229,89	287,37	344,84	402,32	459,79	517,26
70	66,653	133,30	199,96	266,61	333,26	399,92	466,57	533,22	599,87

Tab. 4 - Třmínky

Ocel 10002 a 10370

		$S_t = F_t \cdot \frac{\alpha a}{B} \cdot s \text{ (na 1 bm)}$ $\frac{\alpha a}{B} = 2,300 \text{ kg/cm}^2$ $s = 1,9$								
$\alpha$	sřídání	počet třmínků na 1 bm								
		1	2	3	4	5	6	7	8	9
5	2	0,472	0,94	1,42	1,89	2,36	2,83	3,30	3,78	4,22
	4	0,944	1,89	2,83	3,78	4,72	5,66	6,61	7,55	8,50
	6	1,416	2,83	4,25	5,66	7,08	8,50	9,91	11,33	12,74
	8	1,888	3,78	5,66	7,55	9,44	11,33	13,22	15,10	16,99
5,5	2	0,576	1,15	1,73	2,30	2,88	3,46	4,03	4,61	5,18
	4	1,152	2,30	3,46	4,61	5,76	6,91	8,06	9,22	10,37
	6	1,738	3,48	5,21	6,95	8,69	10,43	12,17	13,90	15,64
	8	2,304	4,61	6,91	9,22	11,52	13,82	16,13	18,43	20,74
6	2	0,685	1,37	2,05	2,74	3,42	4,11	4,80	5,48	6,16
	4	1,370	2,74	4,11	5,48	6,85	8,22	9,59	10,96	12,33
	6	2,055	4,11	6,16	8,22	10,27	12,33	14,38	16,44	18,49
	8	2,740	5,48	8,22	10,96	13,70	16,44	19,18	21,92	24,66
7	2	0,932	1,86	2,80	3,73	4,66	5,59	6,52	7,46	8,39
	4	1,864	3,73	5,59	7,46	9,32	11,18	13,05	14,91	16,78
	6	2,796	5,59	8,39	11,18	13,98	16,78	19,57	22,37	25,16
	8	3,728	7,46	11,18	14,91	18,64	22,37	26,10	29,82	33,55
8	2	1,218	2,44	3,65	4,87	6,09	7,31	8,53	9,74	10,96
	4	2,436	4,87	7,31	9,74	12,18	14,62	17,05	19,49	21,92
	6	3,654	7,31	10,96	14,62	18,27	21,29	25,58	29,23	32,88
	8	4,872	9,74	14,62	19,49	24,36	29,33	34,10	38,98	43,85
10	2	1,900	3,80	5,70	7,60	9,50	11,40	13,30	15,20	17,10
	4	3,800	7,60	11,40	15,20	19,00	22,80	26,60	30,40	34,20
	6	5,700	11,40	17,10	22,80	28,50	34,20	39,90	45,60	51,30
	8	7,600	15,20	22,80	30,40	38,00	45,60	53,20	60,80	68,40
12	2	2,738	5,48	8,21	10,95	13,69	16,43	19,17	21,90	24,64
	4	5,476	10,95	16,43	21,90	27,38	32,86	38,33	43,81	49,28
	6	8,214	16,43	24,64	32,86	41,07	49,28	57,50	65,71	73,93
	8	10,952	21,90	32,86	43,81	54,76	65,71	76,66	87,62	98,57
14	2	3,726	7,45	11,18	14,90	18,63	22,36	26,08	29,81	33,53
	4	7,452	14,90	22,36	29,81	37,26	44,71	52,16	59,16	67,07
	6	11,178	22,36	33,53	44,71	55,89	67,07	78,25	89,42	100,60
	8	14,904	29,81	44,71	59,62	74,52	89,42	104,33	119,23	134,14
16	2	4,869	9,74	14,61	19,48	24,34	29,21	34,08	38,95	43,82
	4	9,738	19,48	29,21	38,95	48,69	59,43	68,17	77,90	87,64
18	2	6,161	12,32	18,48	24,64	30,80	36,97	43,13	49,29	55,45
	4	12,322	24,64	36,97	49,29	61,61	73,93	86,25	98,58	110,90



Tab. 5. Tříminky

ocel 10372

		$S_t = F_t \cdot \frac{\sigma_a}{s} \cdot c \text{ (na 1 bm)}$								
		počet tříminky na 1 bm								
Ø	skřep mm	1	2	3	4	5	6	7	8	9
5	2	0,547	1,09	1,64	2,19	2,74	3,28	3,83	4,38	4,92
	4	1,094	2,19	3,28	4,38	5,47	6,56	7,66	8,75	9,85
	6	1,641	3,28	4,92	6,56	8,20	9,85	11,49	13,13	14,77
	8	2,188	4,38	6,56	8,75	10,94	13,13	15,32	17,50	19,69
5,5	2	0,661	1,32	1,98	2,64	3,30	3,96	4,63	5,29	5,95
	4	1,322	2,64	3,96	5,29	6,61	7,93	9,25	10,57	11,90
	6	1,983	3,97	5,95	7,93	9,92	11,90	13,88	15,86	17,85
	8	2,644	5,29	7,93	10,57	13,22	15,86	18,50	21,15	23,79
6	2	0,787	1,57	2,36	3,15	3,93	4,72	5,51	6,29	7,08
	4	1,574	3,15	4,72	6,29	7,87	9,44	11,02	12,59	14,16
	6	2,361	4,72	7,08	9,44	11,80	14,17	16,53	18,89	21,25
	8	3,148	6,29	9,44	12,59	15,74	18,88	22,03	25,18	28,32
7	2	1,072	2,14	3,22	4,29	5,36	6,43	7,51	8,58	9,65
	4	2,144	4,29	6,43	8,58	10,72	12,87	15,02	17,16	19,30
	6	3,216	6,43	9,65	12,86	16,08	19,30	22,51	25,73	28,94
	8	4,288	8,58	12,87	17,16	21,45	25,74	30,03	34,32	38,61
8	2	1,399	2,80	4,20	5,60	6,70	8,40	9,80	11,19	12,59
	4	2,798	5,60	8,40	11,19	13,99	16,79	19,59	22,39	25,19
	6	4,197	8,39	12,59	16,79	20,98	25,18	29,40	33,58	37,77
	8	5,596	11,19	16,79	22,39	27,99	33,58	39,18	44,78	50,38
10	2	2,186	4,37	6,56	8,74	10,93	13,12	15,30	17,49	19,68
	4	4,372	8,74	13,12	17,49	21,86	26,23	30,61	34,98	39,35
	6	6,558	13,12	19,67	26,23	32,79	39,35	45,91	52,46	59,02
	8	8,744	17,49	26,23	34,98	43,72	52,47	61,21	69,96	78,70
12	2	3,150	6,30	9,45	12,65	15,75	18,90	22,05	25,20	28,35
	4	6,300	12,60	18,90	25,20	31,50	37,80	44,10	50,40	56,70
	6	9,450	18,90	28,35	37,80	47,25	56,70	66,15	75,60	85,05
	8	12,600	25,20	37,80	50,40	63,00	75,59	88,19	100,79	113,39
14	2	4,285	8,57	12,86	17,14	21,42	25,71	30,00	34,28	38,57
	4	8,570	17,14	25,71	34,28	44,85	51,42	60,00	68,56	77,13
	6	12,855	25,71	38,56	51,42	64,28	77,13	89,98	102,84	115,70
	8	17,140	34,28	51,42	68,56	85,70	102,84	119,98	137,12	154,27
16	2	5,597	11,19	16,79	22,39	27,98	33,58	39,18	44,78	50,37
	4	11,194	22,39	33,58	44,78	55,97	67,16	78,36	89,55	100,75
18	2	7,084	14,17	21,25	28,34	35,42	42,50	49,59	56,67	63,76
	4	14,168	28,34	42,50	56,67	70,84	85,01	99,19	113,34	127,51

$$c = 1,15$$

$$\sigma_a = 2300 \text{ kg/cm}^2$$

$$s = 1,9$$

Tab. 6 - Třminky

Ocel 10512  
(Roxor)
$$S_t = F_t \cdot \frac{\Delta a}{s} \cdot c \text{ (na 1 bm)}$$

$$c = 1,65$$

$$\Delta a = 2300 \text{ kg/cm}^2$$

$$s = 1,9$$

s	obřez	počet třminků na 1 bm								
		1	2	3	4	5	6	7	8	9
5	2	0,813	1,63	2,44	3,25	4,06	4,88	5,69	6,50	7,32
	4	1,626	3,25	4,88	6,50	8,13	9,76	11,38	13,01	14,64
	6	2,439	4,88	7,32	9,76	12,20	14,63	17,07	19,51	21,95
	8	3,252	6,50	9,76	13,01	16,26	19,51	22,76	26,02	29,27
8	2	1,232	2,46	3,70	4,93	6,16	7,39	8,63	9,86	11,09
	4	2,464	4,93	7,39	9,86	12,32	14,69	17,25	19,72	22,18
	6	3,696	7,39	11,09	14,78	18,48	22,18	25,87	29,57	33,26
	8	4,928	9,86	14,79	19,72	24,64	29,57	34,50	39,43	44,36
10	2	1,925	3,85	5,77	7,70	9,62	11,55	13,47	15,40	17,32
	4	3,850	7,70	11,55	15,40	19,25	23,10	26,94	30,80	34,64
	6	5,775	11,55	17,32	23,10	28,87	34,65	40,42	46,20	51,98
	8	7,700	15,40	23,10	30,80	38,49	46,19	53,89	61,59	69,29
12	2	2,770	5,54	8,31	11,08	13,85	16,62	19,39	22,16	24,93
	4	5,540	11,08	16,62	22,16	27,70	33,24	38,77	44,31	49,85
	6	8,310	16,62	24,93	33,24	41,55	49,86	58,17	66,48	74,79
	8	11,080	22,16	33,24	44,31	55,39	66,47	77,55	88,63	99,71
14	2	3,769	7,54	11,31	15,08	18,85	22,62	26,39	30,16	33,92
	4	7,538	15,08	22,62	30,16	37,70	45,23	52,77	60,31	67,85
	6	11,307	22,61	33,92	45,23	56,54	67,84	79,15	90,46	101,76
	8	15,076	30,16	45,23	60,31	75,39	90,47	105,55	120,62	135,70
16	2	4,924	9,85	14,77	19,70	24,62	29,54	34,47	39,39	44,32
	4	9,848	19,70	29,54	39,39	49,24	59,09	68,94	78,79	88,64
18	2	6,234	12,47	18,70	24,94	31,17	37,40	43,64	49,87	56,11
	4	12,468	24,94	37,40	49,87	62,34	74,81	87,28	99,74	112,21

Tab. 7 - Rozdělení třmínků a ohybů

Druh konstrukce a zatížení	úsek	Počet vložek					
		3	4	5	6	7	8
	$x_s$	0,29L	0,25L	0,22L	0,20L	0,19L	0,18L
	$x_{k1}$	0,21L	0,25L	0,28L	0,30L	0,31L	0,32L
	$x_s$	0,166L	0,125L	0,10L	0,08L	0,07L	0,06L
	$x_{k1}$	0,35L	0,375L	0,40L	0,42L	0,43L	0,44L
	$x_{s1}$	0,33a	0,25a	0,20a	0,17a	0,14a	0,125a
	$x_{k1}$	0,67a	0,75a	0,80a	0,83a	0,86a	0,875a
	$x_{s2}$	0,33b	0,25b	0,20b	0,17b	0,14b	0,125b
	$x_{k2}$	0,67b	0,75b	0,80b	0,83b	0,86b	0,875b
	$x_k$	0,67a	0,75a	0,80a	0,83a	0,86a	0,87a
	$x_s$	0,22L	0,19L	0,17L	0,15L	0,14L	0,14L
	$x_{k1}$	0,16L	0,19L	0,21L	0,225L	0,23L	0,24L
	$x_{k2}$	0,59L	0,57L	0,54L	0,525L	0,52L	0,51L
	$x_s$	0,23L	0,20L	0,18L	0,16L	0,15L	0,14L
	$x_{k1}$	0,17L	0,20L	0,22L	0,24L	0,25L	0,26L
	$x_{k2}$	0,63L	0,60L	0,58L	0,56L	0,55L	0,54L
	$x_s$	0,13L	0,11L	0,10L	0,09L	0,08L	0,08L
Pole 1	$x_k$	0,37L	0,39L	0,40L	0,41L	0,41L	0,42L
	$x_s$	0,23L	0,20L	0,17L	0,16L	0,15L	0,14L
	$x_{k1}$	0,16L	0,20L	0,22L	0,24L	0,24L	0,25L
Pole 2	$x_{k2}$	0,62L	0,59L	0,57L	0,55L	0,54L	0,54L
	$x_s$	0,16L	0,14L	0,12L	0,11L	0,10L	0,10L
	$x_{k1}$	0,38L	0,40L	0,42L	0,43L	0,43L	0,44L
	$x_{k2}$	0,31L	0,33L	0,35L	0,36L	0,36L	0,37L

Nosník o nekonečném počtu polí s rovnoměrným zatížením

1. pole jako nosník o 4 polích ( $x_s, x_{k1}, x_{k2}$ )
2. pole jako nosník o 4 polích ( $x_s, x_{k1}, x_{k2}$ )

všechna střední pole	$x_s$	0,17L	0,15L	0,13L	0,12L	0,11L	0,10L
	$x_k$	0,33L	0,35L	0,37L	0,38L	0,39L	0,40L